

6기통 가솔린 엔진에 장착된 촉매변환기 내의 3차원 비정상 유동특성 해석

Three Dimensional Unsteady Flow Characteristics inside the
Catalytic Converter of 6 Cylinder Gasoline Engine

정 수 진*, 김 우 승**
S. J. Jeong, W. S. Kim

ABSTRACT

A theoretical study of three-dimensional unsteady compressible non-reacting flow inside double flow of monolith catalytic converter system attached to 6-cylinder engine was performed for the achievement of performance improvement, reduction of light-off time, and longer service life by improving the flow distribution of pulsating exhaust gases. The differences between unsteady and steady-state flow were evaluated through the numerical computations.

To obtain the boundary conditions to a numerical analysis, one dimensional non-steady gas dynamic calculation was also performed by using the method of characteristics in intake and exhaust system. Studies indicate that unsteady representation is necessary because pulsation of gas velocity may affect gas flow uniformity within the monolith. The simulation results also show that the level of flow maldistribution in the monolith heavily depends on curvature and angles of separation streamline of mixing pipe that homogenizes the exhaust gas from individual cylinders. It is also found that on dual flow converter systems, there is severe interactions of each pulsating exhaust gas flow and the length of mixing pipe and junction geometry influence greatly on the degree of flow distribution.

주요기술용어 : Catalytic Converter(촉매변환기), Unsteady Flow(비정상 유동), The method of Characteristics (특성곡선법)

* 정희원, 한양대학교 대학원 기계공학과

** 정희원, 한양대학교 기계공학과

1. 서 론

최근 EC(European Community)등은 자국 내로 수입되는 모든 차량에 촉매변환기의 장착을 의무화하여 놓고 있으며 배기규제 또한 한층 강화하고 있는 추세이다. 따라서 소음 및 배기정화를 담당하고 있는 촉매변환기의 최적설계는 각 자동차 연구소에서 활발히 진행하고 있는 연구항목 중의 하나이다.

촉매변환기의 효과적인 작동은 촉매변환기 내 담체(substrate)를 통과하는 가스의 속도분포 및 열전달 등 많은 인자에 의해서 영향을 받고 있다. 이러한 인자들에 의해서 촉매의 저온활성화(light-off) 시간과 담체의 효과적인 사용정도가 결정되어 진다. 특히 최근들어 시내 주행패턴이 10분 이내로 짧아지는 추세를 보이고 있어 활성화 시간의 단축은 촉매변환기의 설계에 있어서 가장 중요한 요소로 등장하게 되었다. 활성화 시간의 단축은 촉매변환기의 입구 확대부(diffuser) 및 배기관의 형상에 많은 영향을 받고 있으며 담체 내를 통과하는 가스의 유속분포의 균일도 정도는 변환효율에 직접적인 영향이 있을 뿐만 아니라 급격한 온도구배를 억제시켜 수명연장에도 많은 영향을 미치는 것이 확인되었다.^{1,3,4)} 따라서 담체 내의 속도분포에 관련된 배기관의 직경 및 곡률 그리고 입구 확대부 등의 최적화를 위하여 많은 연구들이 수행되어져 왔다.^{2,5)} 특히 최근들어 컴퓨터의 발전에 빌미로 전산 유체 역학 기법을 응용한 촉매 변환기 내부 유동에 관한 연구들이 더욱 활발히 이루어지고 있다.^{2,4)}

그러나 지금까지의 연구는 대부분 촉매 변환기의 입구 확대부 형상 및 입구 배기관의 곡률 및 직경의 변화에 따른 유동특성 변동을 정상상태로 계산하거나 가스의 맥동효과를 무시한 것이었다. 이러한 단순화된 계산은 일반적으로 UBC (under body catalytic converter)형 촉매변환기의 경우에는 큰 오차없이 담체 내의 유속분포를 계산 할 수 있다고 보고되어 있다.⁶⁾ 그러나 6기통 엔진과 같은 다 실린더(multi-cylinder) 기관에 장착되는 double flow type의 촉매변환기의 경우, 촉매 변환기로 연결되어 있는 배기관이

많은 이음부로 구성되어 있으며 또한 각 실린더 간의 순차적 점화로 인한 복잡한 간섭으로 인하여 변환기 입구에서의 비정상적 속도 변동이 크다. 따라서 이러한 비정상적 유동특성을 해석에 반영하기 위해서는 촉매 변환기로 유입되는 가스의 시간에 따른 속도변동을 알아야 한다. 이러한 배기관 내의 속도 변동은 실린더의 빠른 속도와 고온 고압의 배기가스의 분출에 따른 압력파의 맥동현상에 기인한 것이다. 따라서 본 연구에서는 6기통 엔진에 장착된 double flow type의 촉매변환기와 이에 연결되어 있는 배기관 및 이음부를 3차원으로 모델링 하여 비정상 압축성 난류유동을 고려한 수치해석을 수행하여 배기관 내를 흐르는 가스의 간섭현상이 담체 표면의 유속균일도에 미치는 영향을 파악하였다. 이 때 입구에서의 속도변동값을 경계조건으로 사용하기 위해서 특성곡선법^{7,10)}을 사용하였다.

본 연구의 목적은 촉매변환기 내의 가스의 비정상적인 유동특성을 해석함으로써 실운전 조건 하에서 발생하는 실린더 간의 간섭 및 이음부에서의 혼합 현상등이 담체 내의 속도 균일도에 미치는 영향등을 연구하는 것이다.

2. 수치해석

2.1 지배방정식

본 연구에서는 촉매변환기 내의 유동을 3차원 압축성 난류유동으로 계산하였으며 가스의 밀도 변화는 이상 기체 방정식으로부터 계산하였다. 난류모델은 아래 식 (1)-(3)과 같은 Chen¹¹⁾의 Extended k- ϵ 모델을 사용하였다. 이 모델은 소산을 방정식에 2차의 생성을 시간스케일(production rate time scale)을 첨가하여 급격한 변형률을 효과적으로 표현하여 난류 운동에너지의 급격한 생성과 소산이 수반되는 제트류와 같은 유동에 표준 k- ϵ 난류 모델보다 정확한 예측 성능을 보유한 것으로 알려져 있다.

$$\frac{\partial}{\partial t}(\rho k) + \nabla(\rho k \bar{u}) = \nabla(\rho \sigma_k D \nabla k) - \rho \epsilon \quad (1)$$

$$\frac{\partial}{\partial t}(\rho \varepsilon) + \nabla \cdot (\rho \varepsilon \bar{u}) = \nabla \cdot (\rho \sigma_\varepsilon D \nabla \varepsilon) + c_1 P \frac{\varepsilon}{k} - c_2 \rho \frac{\varepsilon^2}{k} + c_3 \rho \varepsilon \nabla \cdot \bar{u} + c_4 D \frac{P}{k} \quad (2)$$

여기서,

$$P = \rho D \left[2(\nabla \bar{u})^2 + (\nabla \bar{u} + \nabla \bar{u}^T)^2 - \frac{2}{3} (\nabla u)^2 \right] - \frac{2}{3} \rho k \nabla u \quad (3)$$

$D = c_\mu k^2 \varepsilon + D_L$ 이며 D_L 은 총류점성계수, \bar{u} 는 평균 속도 벡터, 상첨자 T는 transpose를 의미하며, 소산을 방정식에 포함된 상수값은 아래 표 1과 같다.

Table 1 Values assigned to Chen's $k-\varepsilon$ turbulence model coefficients

σ_k	σ_ε	C_1	C_2	C_3	C_4
1.33	0.869	1.15	1.9	-0.4	0.25

2.2 담체의 수학적 모델

해석 대상 측매변환기의 담체는 듀얼타입으로 정사각형의 셀로 이루어져 있으며 400cpsi의 밀도와 0.15mm의 벽두께를 가지고 있다. 담체를 통과할 때 발생하는 압력 강하를 표현하기 위하여 본 연구에서는 담체를 아래의 식 (4)와 같이 국부유속에 대한 단위길이 당 압력손실로 표현되는 다공성 매체로 처리하였고 이를 통과하는 유동의 속도는 축방향으로 지배적이기 때문에 단면 방향으로의 물질전달은 무시하였다.

$$\frac{\partial p}{\partial x_i} = -K_i u_i \quad (4)$$

$$K_i = (\alpha_i |\bar{v}| + \beta_i) u_i \quad (5)$$

담체의 항력은 속도에 무관하므로 $\alpha_i=0$ 이며

β_i 는 실험적으로 구하였다. 단면 방향의 α_i, β_i 값은 큰 값(10^5)을 입력하여 유동을 억제하였다. 본 연구의 모든 계산결과들은 담체 내에서의 화학반응을 무시하였으며 측매변환기를 동온상태로 계산하였는데 실제로 화학반응이 속도에 미치는 영향은 10% 이내로 보고되어 있다.¹²⁾

측매변환기에 있어서 배기관을 통과한 배기가스의 담체 표면에서의 속도분포의 균일도는 측매변환기의 변환효율과 노화(aging)에 많은 영향을 미치므로 이의 지표(index)를 설정하는 것은 매우 중요하다. 본 연구에서는 식 (6)과 같은 방법으로 균일도 지표를 설정하였다.

$$\gamma = 1 - \frac{1}{2n} \sum_{i=1}^n \frac{\sqrt{(w_i - w_{mean})^2}}{w_{mean}} \quad (6)$$

γ = 균일도 지수

w_i = 국부 속도

w_{mean} = 평균유속

2.3 배기관 내의 비정상 유동해석

3차원 CFD 해석의 비정상적인 입구경계조건을 얻기 위하여 흡·배기관 내의 가스의 비정상 유동을 1차원 가변 엔트로피(non-homentropic) 유동으로 간주하여 이를 특성곡선법을 이용하여 계산하였다. 이 계산방법은 관 내의 압축성 비정상 유동을 공간 x와 시간 t의 평면 상에 위치한 사각형 격자에서 계산하여 기울기를 가지고 있는 특성곡선을 따라 $U \pm A$ 의 속도로 움직이는 특정 변수(Riemann variable)[10]를 도입하여 계산한다. 연소 후의 배출되는 배기ガ스의 압력과 온도를 계산하기 위하여 Benson¹⁰⁾의 2영역 연소 모델(Two Zone Combustion Model)을 사용하여 연소 과정을 해석하였다. 흡·배기관 내의 유동을 압축성 1차원, 비정상 유동으로 간주하고 마찰, 열전달, 온도구배를 고려하면 아래의 3가지 편미분 방정식으로 표시할 수 있다.

$$\frac{\partial \rho}{\partial t} + \rho \frac{\partial u}{\partial x} + u \frac{\partial p}{\partial x} + \frac{\rho u}{F} \frac{dF}{dx} = 0 \quad (7)$$

$$\frac{\partial u}{\partial t} + u \frac{\partial u}{\partial x} + \frac{1}{\rho} \frac{\partial p}{\partial x} + G \neq 0 \quad (8)$$

여기서, $G = f \frac{u^2}{2} - \frac{u}{|u|} \frac{A}{D}$

$$q\rho F = \frac{\partial}{\partial t} \left[\rho F \left(\frac{e + \frac{u^2}{2}}{2} \right) \right] + \frac{\partial}{\partial x} \left[\rho u F \left(e + \frac{u^2}{2} + \frac{p}{\rho} \right) \right] \quad (9)$$

이때, $\frac{p}{\rho} = RT$, $q = \frac{2f}{D} \frac{k}{k-1} R|u|(T_w - T_s)$.

$$e = C_v T = \frac{P}{(k-1)\rho}$$

여기서 ρ , u , F , e , p , q , f 는 각각 밀도, 속도, 관의 단면적, 내부 에너지, 압력, 단위 시간당 열전달율, 마찰계수이다.

이때 시·공간의 평면에서의 특성곡선의 기울기는 아래와 같다.

$$\frac{dx}{dz} = U \pm A$$

여기서, Riemann 변수(λ)는 아래와 같다.

$$\lambda = U \mp \frac{k-1}{2} A$$

그리고, X, Z, U, A 는 각각 무차원 거리, 시간 속도, 음속이며, 각각 $X = \frac{x}{x_{ref}}$, $Z = \frac{a_{ref}}{x_{ref}}$, $U = \frac{u}{a_{ref}}$, $A = \frac{A}{a_{ref}}$ 이다.

한편 가변 엔트로피 유동에서는 Riemann 변수가 유체를 통과할 때 수정이 필요하다. 즉 시간의 증분에 따라 λ 가 변한다. 이것은 아래와 같은 방정식에 의해서 수정될 수 있다.

$$d\lambda = -\frac{k-1}{2} \frac{AU}{F} \frac{dF}{dx} dZ + A \frac{dA_A}{A_A}$$

$$-\frac{k-1}{2} \frac{2fx_{ref}}{D} U^2 \frac{U}{|U|} \left[1 - (k-1) \frac{U}{A} \right] dZ$$

$$+ \frac{(k-1)^2}{2} \frac{qx_{ref}}{a_{ref}^2} \frac{1}{A} dZ \quad (10)$$

여기서, A_A 는 엔트로피 수준이며 $A_A = \frac{a_a}{a_{ref}}$ 이다.

흡·배기계는 엔진의 복잡한 여러장치들과 연결되어 있으므로 특성곡선법을 사용하여 계산을 하기 위해서는 관 양단에 연결되어 있는 여러 장치들을 모델링하여야 한다. 본 연구에서는 실린더는 가스교환 과정 중에는 열역학적 개방계로 간주하였고, 흡·배기과정 중에는 특성곡선법으로 부터 계산된 가스의 속도와 밀도로 부터 밸브를 통과하는 유량을 계산하여 흡·배기 과정 중의 실린더 내의 압력을 계산하며 압축, 연소, 팽창 과정에는 2영역 연소 모델을 사용하여 계산하였다. 또한 스로틀 바디는 단열압력강하가 일어나는 불연속점으로, 이음부는 정압모델을, 소음기는 급 확대, 축소 모델을 사용하였다.^{7,10)} 촉매변환기는 2개의 체적과 한 개의 관으로 모델링 하였다.

2.4 초기 조건, 경계조건 및 해석 알고리즘

초기조건은 시동초기 현상을 해석하기 위하여 가스가 정지해 있는 것으로 가정하였다. 작동유체는 600K의 공기이며 벽면은 단열조건을 주었으며 벽근처의 난류 상태량을 구하기 위하여 벽함수를 사용하였다. 출구조건으로는 압력경계조건을 사용하였으며 압력값은 실험적으로 구한 배압을 이용하였다. 계산은 1번 실린더의 EVO (Exhaust Valve Opening)를 기준으로 하였다. 상세한 해석조건들은 Table 2에 나타내었다.

본 연구에서는 엔진의 흡·배기관 내의 비정상 유동을 특성곡선법을 사용하여 계산한 후 이를로부터 얻은 시간에 따른 속도변동값을 CFD 해석의 입구 경계조건으로 사용하여 주 관심부분인 촉매변환기를 STAR-CD¹⁴⁾를 이용하여 3차원으로 해석하였다. Fig.1에 전체적인 계산의 흐름도를 나타내었다.

Table 2 Boundary conditions

Inlet boundary	시간에 따른 유입유속은 1-D Gas dynamic Smulation으로 부터 계산. 난류운동에너지 k 는 입구유속의 5%로 계산하였고, 소산율은 $\epsilon = 0.09^{3/4} K^{3/2} / 1$ 의 관계로 부터 계산. 이때 1은 배기관의 직경임.
Outlet boundary	압력 경계 조건 $u^i, n=k, \epsilon, T=0$, 여기서 n 은 $\frac{\partial}{\partial n}$
Solid wall boundary	$u^i=0$ K 와 ϵ 는 벽함수를 이용하여 계산

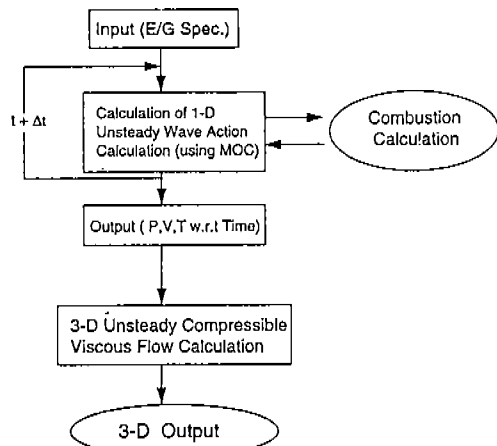


Fig.1 Calculation flow chart

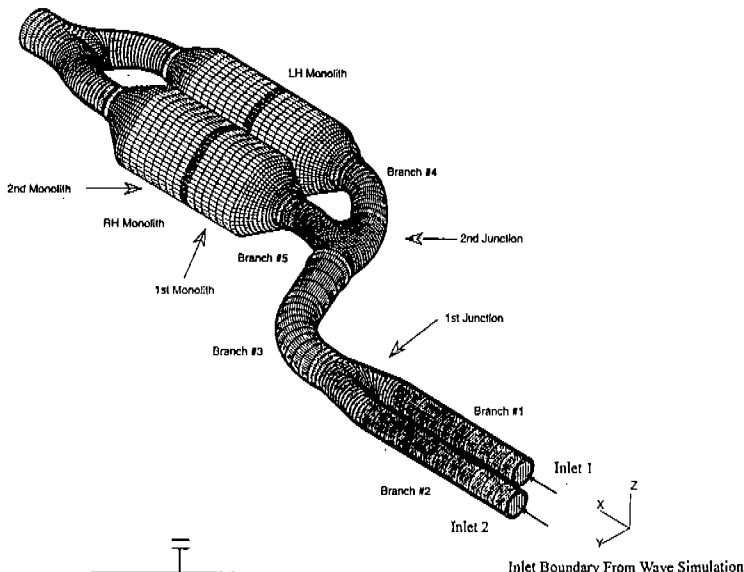


Fig.2 Computational grid of catalytic converter

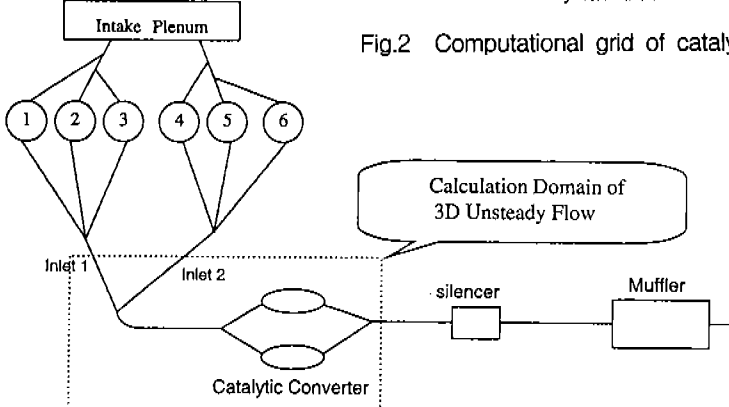


Fig.3 Schematic representation of a whole intake & exhaust system

Fig.2는 축매변환기의 3차원 계산결과를 나타내며 흡·배기관의 간략도를 Fig.3에 각각 나타내었다.

3. 결과 및 고찰

3.1 입구 배기관에서의 압력파 거동해석

본 연구에서 흡·배기관 내의 비정상 유동해석을 수행하기 위하여 사용한 프로그램의 타당성을 검증하기 위하여 全中豐¹⁵⁾ 등이 본 연구의 대상 엔진과 동일한 흡기관 형상에 대하여 실험적으로 구한 1번 실린더에 연결된 흡기 manifold에서의 압력파형을 WOT, 2,600, 2,800, 3,200rpm의 경우에 대해서 계산값과 비교하여 Fig.4(a) 나타내었다. 그림으로 부터 본 연구에서 개발한 프로그램의 계산결과는 흡기관 내의 압력파의 산(peak)을 정확히 예측하고 있음을 볼 수 있다. Fig.4(b)는 Fig.3에 표시한 입구 배기관 1, 2에서의 압력파의 거동과 속도변동을 3,200rpm, WOT의 경우에 대해서 나타내었다. 그림에서 보듯이 배기관을 흐르는 가스의 속도 및 압력 변동은 각 실린더로 부터 토출된 압축 가스의 팽창과 피스톤의 빠른 움직임으로 인한 압력파로 인하여 최대치와 최소치를 나타내는 파가 주기적으로 발생함을 볼 수 있다. 6기통 엔진과 같이 다 실린더 기관에서는 각 실린더 배기행정 중에 발생하는 이러한 압력파들은 이음부에서 서로 간섭하며 배기 manifold 하류로 전파되어 가며 결국 축매변환기의 담체는 연속적으로 이러한 파와 접촉하게 된다. 또한 입구배기관 1, 2의 속도역시 각 실린더 및 이음부에서의 간섭과 배기관의 길이 차로 인하여 각 축매 변환기로 유입되는 속도 및 압력 파형에 많은 상변위(phase shift)을 보인다. 이로 인하여 임의의 시간에 각 입구에서 속도 편차가 발생할 수 있다. 본 연구에서는 Fig.4(b)에 보인 압력파의 거동에 따른 속도변동을 입구조건으로 사용하여 각 실린더에서 주기적으로 배출되는 배출가스로 인한 배기관 내의 속도 및 압력변동이 담체 내의 유속 균일도에 미치는 영향을 연구하였다.

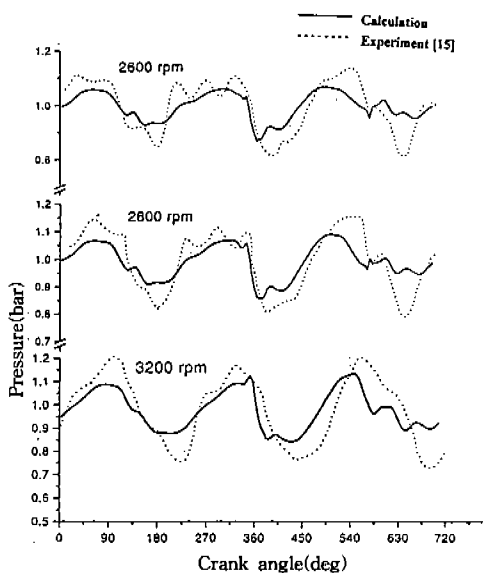


Fig.4(a) Pressure waves in the intake pipe

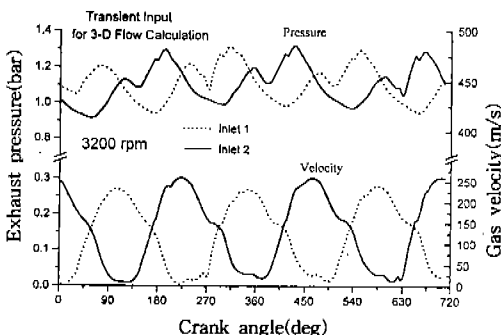
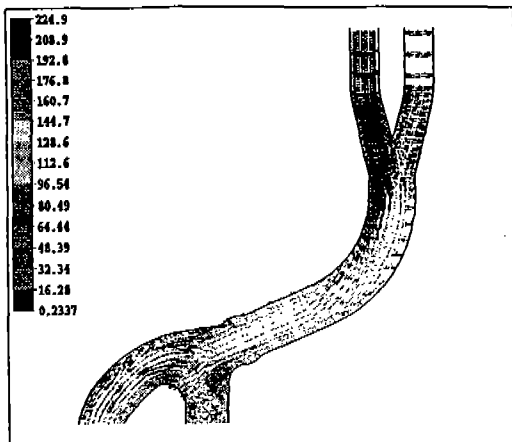


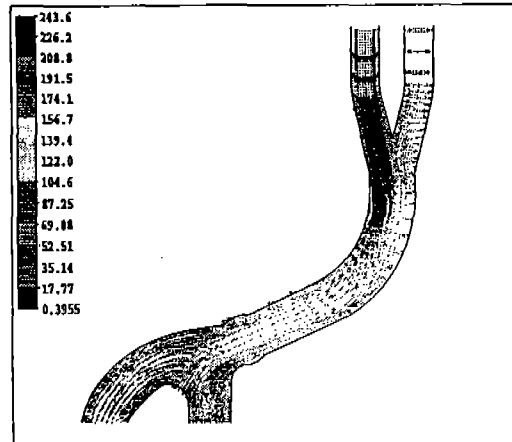
Fig.4(b) Pressure wave and gas velocity in the exhaust pipe connected to catalytic converter

3.2 축매변환기 내의 비정상 유동해석

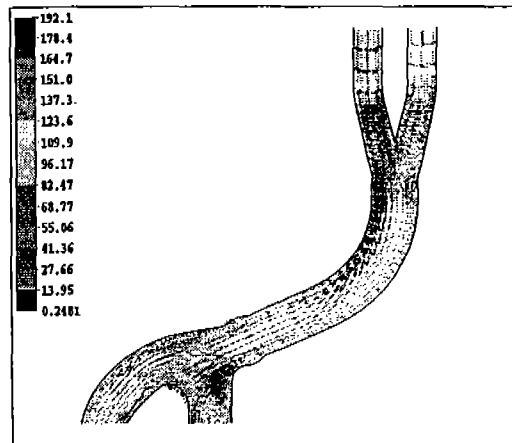
Fig.5(a-f)는 Fig.4의 속도변동을 입구 경계 조건으로 사용하여 3차원 비정상 압축성 유동해석을 수행하여 z축 중앙단면을 잘라서 1번 실린더 EVO를 기준으로 한 속도장을 나타내고 있다. 190°의 경우 2번 분지관으로 유입되는 강한 유동은 3번 분지관의 외측 벽면을 타고 가속되어 흐르면서 1번 분지관으로 유입되는 유동과 혼합된다. 이 혼합된 유동은 2번 이음부에서 각 축매



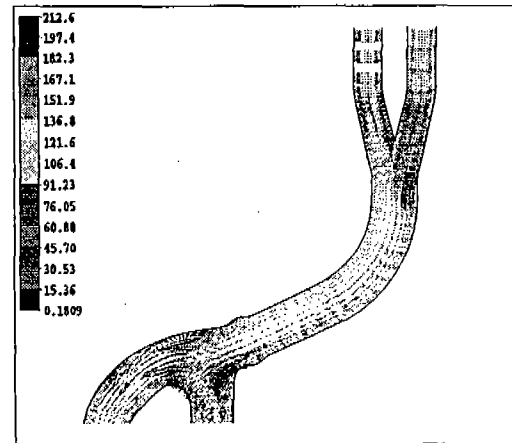
(a) 87.2deg



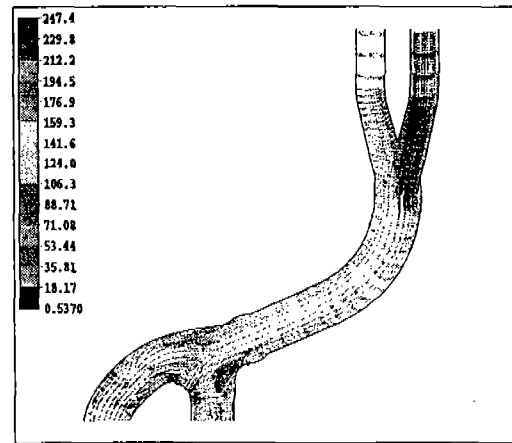
(b) 109.5deg



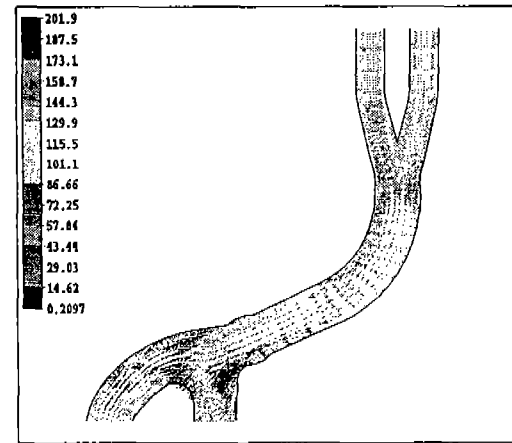
(c) 141.7deg



(d) 190deg

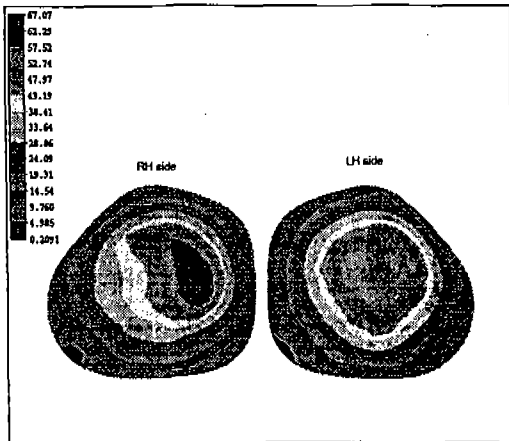


(e) 225deg

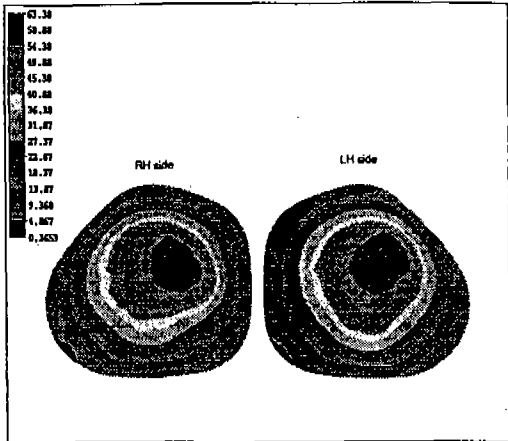


(f) 295deg

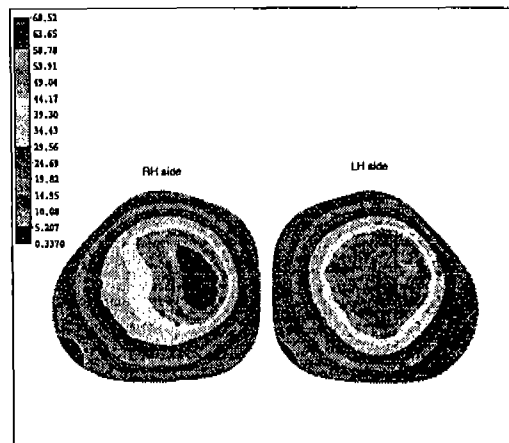
Fig.5 Predicted velocity vector plots with time variation



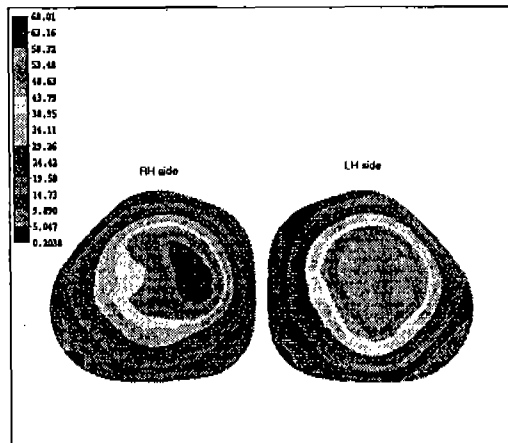
(a) 87.2deg



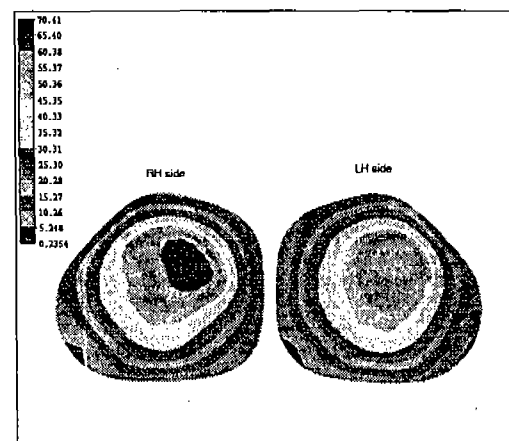
(b) 109.5deg



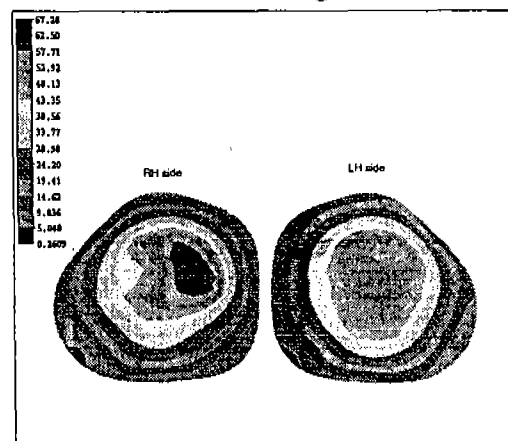
(c) 141.7deg



(d) 167.5deg



(e) 225deg



(f) 244deg

Fig.6 Predicted velocity distribution across the surface of first monolith

변환기로 유입되는데, 급격한 유선박리각을 지닌 5번 분지관으로 유입되는 유동은 입구에서 강하게 가속되고 있음을 볼 수 있다. 225°의 경우는 2번 분지관으로 부터 유입되는 강한 유동과 상대적으로 유속이 작은 1번 분지관으로 부터의 유동이 1번 이음부에서 상호 충돌하여 강한 간섭이 일어나고 있음을 확인할 수 있다. 따라서 2번 분지관으로 부터의 강한 유속은 3번 분지관의 외측곡률을 부분으로 편중되어 흐르며 이는 4, 5번 분지관으로 분리되어 각 촉매변환기를 통과하게 된다. Fig.6(b-c)에서 보듯이 이러한 편중된 흐름은 속도 균일도를 저하시키는 원인이 된다.

Fig.6(a-f)는 좌측과 우측의 첫번째 담체표면에서의 속도분포를 크랭크각에 대하여 나타내었다. 그림에서 보듯이 배기관 및 이음부의 형상에 따라 축방향으로 편중된 유동으로 인하여 눈썹 모양의 고속의 유동이 집중되어 있는 영역이 발생함을 확인할 수 있으며 이 속도집중 영역은 각 입구 배기관에서의 속도변동에 따른 이음부 및 곡률부분에서의 간섭 및 유속의 편중된 흐름으로 인하여 시간에 따라 크게 변하고 있음을 확인할 수 있다. 특히 우측의 유속분포는 입구관(5번 분지관)의 급격한 유선 박리각(Angle of streamline separation)으로 인하여 좌측 보다 속도분포의 변화량이 많음을 알 수 있다.

특히 87.2°의 경우, 1, 2번 분지관에서의 속도차로 인한 3번 분지관 입구에서의 심한 간섭 현상은 결국 편중된 유속이 각 촉매변환기로 유입되어 Fig.6(a)에서 보듯이 각 담체표면에 분포하는 유속분포 양상이 서로 상이하게 나타나고 있음을 볼 수 있다. 109.5°에서 좌측 담체표면 우상부에 국부적으로 높은 속도분포가 나타나는데 이는 1번 분지관을 통과하는 빠른 유동이 3번 분지관의 내측벽을 타고 흐르며 2번 분지관으로 부터의 유동과 충분히 혼합되며 4번 분지관의 곡률을 타고 촉매변환기로 유입되기 때문이다. 그러므로 이 경우 유동은 2번 분지관에서 각 촉매변환기로 타 경우에 비해 균일하게 분배되어 진다. 그러므로 우측 담체 표면의 유속분포는 타 경우보다 속도집중 정도가 완화되어 분포되어 짐을 볼 수 있다. Fig.7은 1번 실린더의 EVO

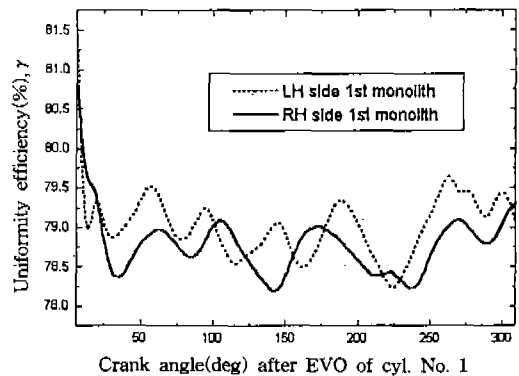


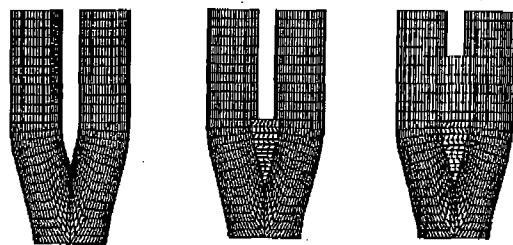
Fig.7 Pulsation of flow uniformity(γ) in the first exhaust pipe connected to catalytic converter

각을 기준으로 양쪽 담체표면에 분포하는 균일도(γ)를 나타낸 결과이다. 그럼 Fig.7에서 보듯이 이 경우 우측의 균일도(γ)가 좌측 보다 높게 나타나고 있음을 알 수 있다. 따라서 시간에 따른 각 입구속도의 편차 및 각 이음부에서의 간섭등으로 인하여 시간에 따른 균일도의 변동 특성이 각각 다르게 나타나고 있음을 알 수 있으며 전반적으로 입구 배기관의 곡률이 심한 RH쪽의 속도 균일도가 LH에 비해 낮게 나타나고 있다. 그러나 225°의 경우는 2번 분지관으로 부터의 빠른 유동이 3번 분지관 외측벽을 타고 가속되어 흐르며 5번 분지관 입구의 급격한 유선 박리각으로 인하여 급격히 외측벽으로 가속되어 짐을 볼 수 있다. 이러한 급격한 유속의 가속으로 인한 속도의 편중은 RH쪽 담체의 유속균일도를 저하시킨다.

이러한 결과들로 부터 배기계에 이음부를 포함하고 있는 double flow형의 촉매변환기의 경우, 각 입구부로 부터의 속도의 균형과 혼합관(mixing pipe, 본 논문의 경우는 3번 분지관)에서의 가스의 균일한 혼합 여부는 담체를 통과하는 유속분포에 큰 영향을 미치고 있음을 알 수 있다.

3.3 이음부의 최적화

혼합관에 좀더 균일하게 혼합된 가스를 공급하기 위하여 1번 이음부를 Fig.8과 같이 변형시



Original Model
(Model 1) Model 2 Model 3

Fig.8 Modified junction models

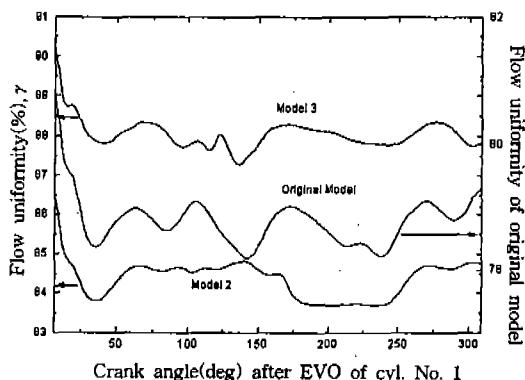


Fig.9 Flow uniformity with modified junctions (RH)

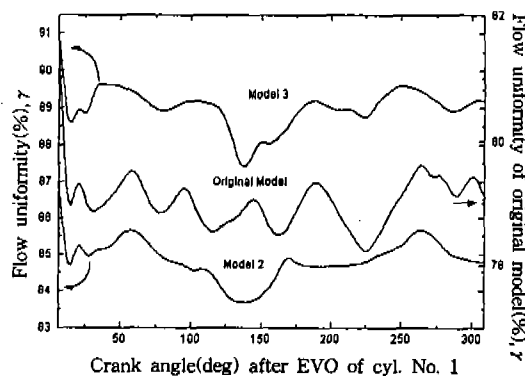
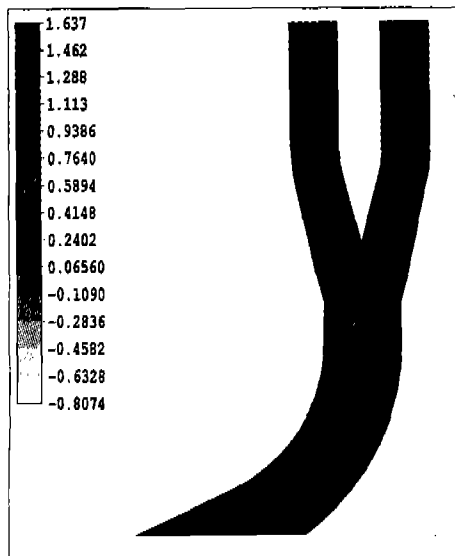


Fig.10 Flow uniformity with modified junctions (LH)

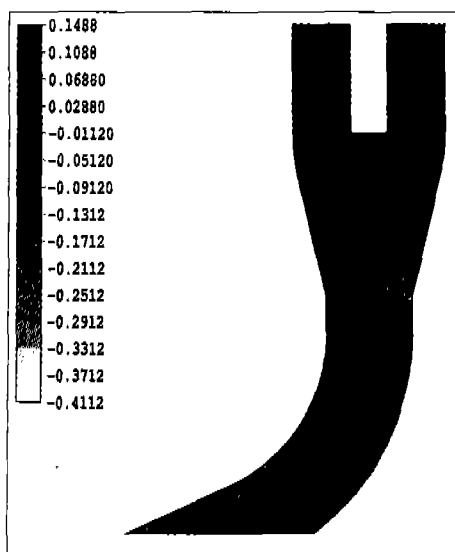
켜 각 경우의 비정상적인 균일도의 변동을 계산하였다.

Fig.9, 10은 양쪽 담체에서의 시간에 따른 균일도 변동을 각 모델에 대하여 나타내었다. 이를

그림에서 보듯이 혼합관 상류의 이음부의 체적은 비정상적인 실제 운전조건 하에서는 담체내의 균일도 및 이의 변동특성에 상당한 영향을 미치고 있음을 확인 할 수 있다. 이를 결과들로부터 이음부의 체적이 크면 를 수록 양쪽 유입

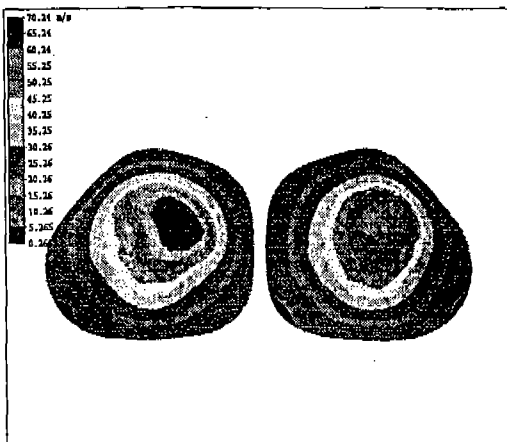


(a) Original junction model

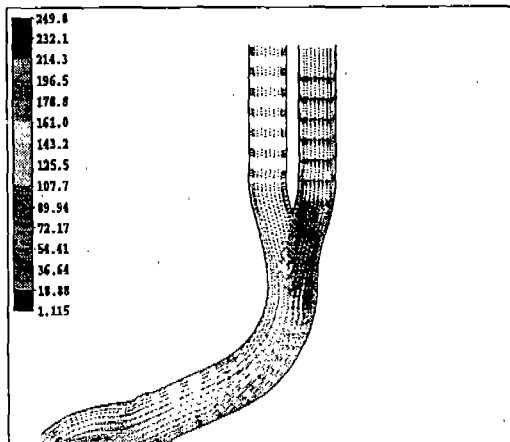


(b) Junction model 2

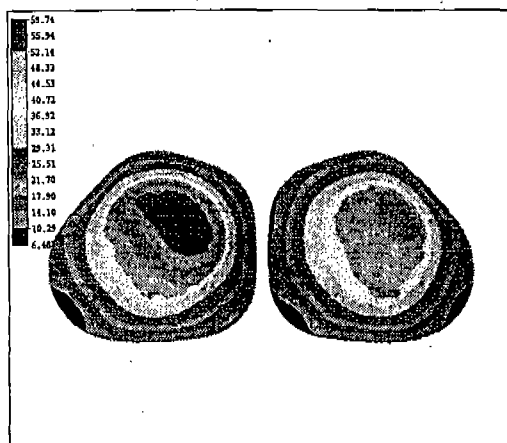
Fig.11 Pressure contours with and without modification ($(p - p_{inlet})/\rho u_{in}^2$)



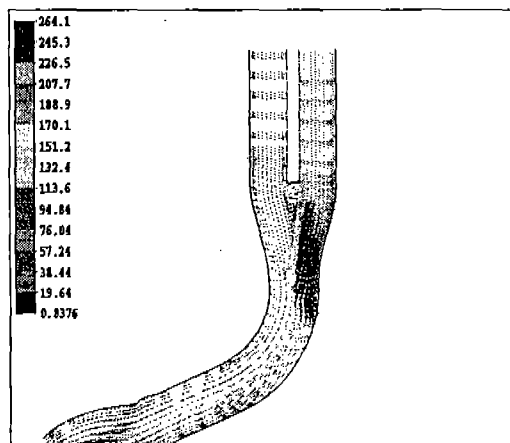
(a) Velocity contourplot(original)



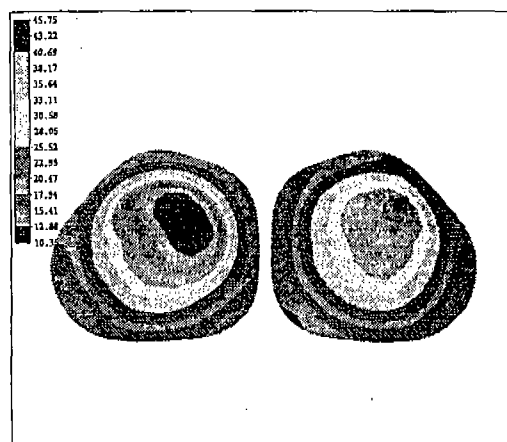
(b) Velocity vector(original)



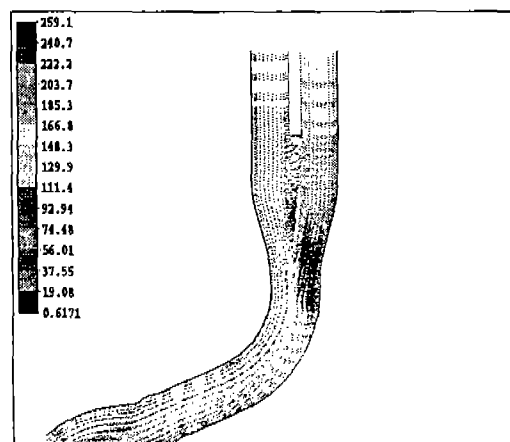
(c) Velocity contour plot(model 2)



(d) Velocity vector(model 2)



(e) Velocity contour plot(model 3)



(f) Velocity vector(model 3)

Fig.12 Modified geometry of junction and flow velocity plot at 225deg

관들로 부터의 유동을 균질하게 혼합할 수 있어 결국 담체 내에서 높은 균일도를 얻을 수 있음을 알 수 있다. 이는 속도분포의 유형은 큰 차이를 보이고 있지 않지만 이음부의 체적이 크면 클 수록 담체 표면에 분포하는 속도구배가 크게 완화될 수 있기 때문이다. 이는 이음부에서의 가스의 보다 균질한 혼합이 결국 담체 표면에 균일도를 향상시킬 수 있음을 의미한다.

그러나 너무 큰 이음부의 체적은 큰 압력 강하를 초래하므로 엔진의 성능을 저하시킬 수 있으므로 유의해야 한다. Fig.11에 Original Model과 Model 2의 1번 이음부에서의 225°에서의 압력분포를 나타내었다. 그럼에서 보듯이 이음부의 체적이 큰 Model 2의 경우가 큰 압력구배를 형성하고 있음을 볼 수 있다. 따라서 이음부의 체적은 배기관의 튜닝을 고려하여 너무 크지 않은 범위에서 설정되어져야 할 것이다.

Fig.12은 225°에서의 혼합관 상류의 이음부와 첫번째 담체 표면에서의 속도분포를 각 경우에 대해서 나타내었다. 각 경우를 비교하여 보면 전반적인 속도분포 형상은 큰 변화를 보이지 않고 있다. 그러나 이음부의 체적이 클수록 담체 표면에 분포하는 급격한 속도구배를 완화시켜주고 있음을 알 수 있다. 이는 1, 2번 분지관으로부터 유출되는 빠른 가스의 유속이 보다 큰 체적의 이음부를 통과하면서 감속되어 상호 혼합될 수 있는 기회를 갖을 수 있기 때문으로 생각한다.

4. 결 론

6기통 가솔린 엔진에 장착한 double flow 형의 측매변환기에 대하여 3차원 비정상 유동해석을 수행하기 위하여 특성곡선법을 사용한 사이클 시뮬레이션을 수행하여 배기관 내를 흐르는 가스의 맥동현상을 계산하였으며 이를 3차원 유동해석의 입구조건으로 사용하여 실 운전조건에서 발생하는 가스의 속도 및 압력변동이 담체 표면에 미치는 영향을 연구하였다.

비정상 유동 해석결과 다음과 같은 결론을 얻었다.

- 1) double flow type의 측매변환기는 유입배

기관의 길이차로 인하여 좌·우측 측매변환기로 유입되는 속도파형에 상이동(phase shift)이 존재하며 이로인하여 발생하는 유입속도의 편차는 결국 이음부에서의 간섭 및 편중된 흐름을 유발하여 담체 내의 속도 균일도를 저하시킨다.

- 2) 6기통 엔진과 같은 다기통 엔진에 부착된 double flow type의 측매변환기의 경우, 실운전 조건하에서는 각 실린더로 부터의 연속적인 배기로 인하여 생성된 압력파가 각 이음부에서 상호 간섭하여 큰 압력 및 속도 변동을 일으킨다. 이러한 속도 및 압력변동은 결국 담체 내에서의 유속 균일도를 변화시키며 균일도 지수(γ) 역시 정상 상태 보다 저하시킨다.
- 3) double flow type의 측매변환기의 경우 유입 배기관 들의 곡률은 편중된 흐름을 유도하여 담체 내의 유속 균일도를 저하시키며, 상류에 존재하는 각 배기관의 이음부의 체적의 크기는 각 배기관에서 유입되는 배기ガ스의 혼합 정도를 결정하여 이는 결국 담체 내의 유속균일도에 큰 영향을 미침을 확인하였다. 계산결과 이음부에서의 체적의 크기는 클 수록 담체 내에 높은 균일도를 얻을 수 있었다.
- 4) 본 논문의 연구 결과로 부터 실 운전에 가까운 비정상 3차원 수치해석을 특성곡선법을 이용한 사이클 시뮬레이션과 연계된 계산을 통하여 성공적으로 묘사할 수 있음을 확인하였고 이러한 유동해석은 배기계에 많은 이음부와 곡률을 포함하고 있는 double flow type의 측매변환기의 경우 각 실린더에서 연속적으로 배출되는 가스의 상호 간섭과 속도 및 압력의 변동이 담체 내에 분포하는 유속 균일도에 미치는 영향을 예측 할 수 있으므로 측매 변환기를 포함한 배기계의 최적설계에 기초자료로 유용하게 쓰일 수 있을 것이다.

참 고 문 헌

1. Charles D. Lemme and William R. Gi-

- vens, "Flow Through Catalytic Converters -An Analytical and Experimental Treatment", SAE Paper 740243, 1974.
2. Anthony J. Baxendale, "Computational Fluid Dynamics in Exhaust System Design and Development", '94 International E/G Design, Sterling Publications Ltd., pp. 126~130, 1994.
 3. W. C. Johnson and J. C. Chang, "Analytical Investigation of the Performance of Catalytic Monoliths of Varying Channel Geometries Based on Mass Controlling conditions", SAE Paper 740196, 1974.
 4. Daniel W. Wendland and William R. Mathes, "Effect of Header Truncation on Monolith Converter Emission-Control Performance", SAE Paper 922340, 1992.
 5. M. C. Lai and J. Y. Kim, "Numerical and Experimental Characterizations of Automotive Catalytic Converter Internal Flows", Journal of Fluids and Structures, Vol. 6, pp. 451~470, 1992.
 6. Herman Welten, Harald Bressler, Frank Terres, Hubert Neumaier, and Detlev Rammoser, "Optimisation of Catalytic Converter Gas Flow Distribution by CFD Prediction", SAE Paper 90780, 1993.
 7. Soojin Jeong et al, "A Study on the Effect of Exhaust Manifold Configuration on Engine Performance in a 4-cylinder 4-cycle Gasoline Engine", Transaction of Korean Society of Mechanical Engineers, Vol. 18, No. 3, pp. 751~767, 1994.
 8. D. E. Winterbone and M. Yoshimoto, "The Accuracy of Calculating Wave Action in engine Intake Manifolds", SAE Paper 90677, 1990.
 9. D. E. Winterbone, G. I. Alexander and J. R. Nichols, "Developments methods of considering Wave Action In Pipes Connected to I. C. Engines", ASNE, Int'l Symposium on Flows, Vol. 3, pp. 71~88, 1985.
 10. R. S. Benson et al, "A Simulation Model including Intake & Exhaust Systems for a Single Cylinder 4 Stroke Cycle S. I. Eng.", Int. J. Mech. Sci., Vol. 17, pp. 97~124, 1975.
 11. Chen, Y. S. and Kim, S. W., "Computation of Turbulent Flows Using an Extended $k-\epsilon$ Turbulence Closure Model", NASA CR -179204, 1987.
 12. N. S. Will and C. j. Bennett, "Flow Maldistributions in Automotive Converter Canisters and their Effect on Emission Control", SAE Paper 922339, 1992.
 13. Femb -Finite Element Model Builder Version 26.5 - User's Mannual, ETA, Inc., 1995.
 14. Star-CD Ver. 2.3 User's Mannual, Computational Dynamics Li-mited., 1995.
 15. 田中豊, "多シリダ機関の吸氣慣性に関する研究", 日本機械學會論文集, 3卷, 371, pp. 2726~2737, 1978.